

Positivité des fonctions de corrélation en théorie conforme des champs

Boris Elvis GBEASOR

Université Laval

sous la supervision de Jean-François Fortin

21 Juillet 2022

Plan de la présentation

- 1 Théorie quantique des champs
- 2 Théorie conforme des champs
- 3 Axiomes de Wightman
- 4 Résultats
- 5 Conclusion

Point de vue de Heisenberg vs Schrödinger

- **Schrödinger** : Toute l'évolution temporelle du système se trouve dans la dépendance en t du ket $|\psi(t)\rangle = |\psi_S(t)\rangle$
- **Heisenberg** : Les kets sont indépendants du temps mais les observables en dépendent, $|\psi_H\rangle$

Les deux points de vue peuvent être reliés par une transformation unitaire :

$$|\psi_S(t)\rangle = \hat{U}(t, t_0) |\psi_H\rangle \quad (1.1)$$

L'action d'une observable \hat{Q} sur le champ $\mathcal{O}_i(x)$ dans le point de vue de Heisenberg se décompose :

- **représentation dans l'espace des coordonnées** avec $\check{Q}\mathcal{O}_i(x)$ où \check{Q} est un opérateur différentiel
- **représentation dans un espace des états abstraits** avec $\tilde{Q}_{ij}\mathcal{O}_j(x)$ où les indices désignent les états du champ (exemple : représentation spinorielle)

Théorie quantique des champs : mécanique quantique + relativité restreinte

Plusieurs procédures de quantisation des champs :

- Seconde quantisation
- Intégrale des chemins de Feynman

Seconde quantisation 1/2

Méthode d'expansion de Fourier des champs et remplacement des coefficients de l'expansion par des opérateurs de création et d'annihilation tel que $a_{\mathbf{p}}|0\rangle = 0$, $|\mathbf{p}\rangle = \sqrt{2E_{\mathbf{p}}}a_{\mathbf{p}}^{\dagger}|0\rangle$

Exemple de l'expansion de Fourier du champ libre de Klein-Gordon :

$$\phi(\mathbf{x}, t) = \int \frac{d^3p}{(2\pi)^3} e^{i\mathbf{p}\cdot\mathbf{x}} \phi(\mathbf{p}, t), \text{ avec}$$
$$\left[\frac{\partial^2}{\partial t^2} + (|\mathbf{p}|^2 + m^2) \right] \phi(\mathbf{p}, t) = 0 \quad (1.2)$$

Dans le but de retrouver l'hamiltonien quantique d'un oscillateur harmonique, $H = \int \frac{d^3p}{(2\pi)^3} \omega_{\mathbf{p}} a_{\mathbf{p}}^{\dagger} a_{\mathbf{p}}$, il faut que

$$\phi(\mathbf{x}, t) = \int \frac{d^3p}{(2\pi)^3} \frac{1}{\sqrt{2E_{\mathbf{p}}}} \left(a_{\mathbf{p}} e^{-ip\cdot x} + a_{\mathbf{p}}^{\dagger} e^{ip\cdot x} \right) \Big|_{p^0=E_{\mathbf{p}}} \quad (1.3)$$

Interprétation des opérateurs :

$$\begin{aligned}\phi(\mathbf{x})|0\rangle &= \int \frac{d^3p}{(2\pi)^3} \frac{1}{\sqrt{2E_{\mathbf{p}}}} (a_{\mathbf{p}} e^{i\mathbf{p}\cdot\mathbf{x}} + a_{\mathbf{p}}^{\dagger} e^{-i\mathbf{p}\cdot\mathbf{x}}) |0\rangle \\ &= \int \frac{d^3p}{(2\pi)^3} \frac{1}{2E_{\mathbf{p}}} e^{-i\mathbf{p}\cdot\mathbf{x}} |\mathbf{p}\rangle = |\mathbf{x}\rangle\end{aligned}\quad (1.4)$$

→ création d'une particule à la position \mathbf{x}

$$\begin{aligned}\langle 0|\phi(\mathbf{x})|\mathbf{p}\rangle &= \langle 0|\int \frac{d^3p'}{(2\pi)^3} \frac{1}{\sqrt{2E_{\mathbf{p}'}}} (a_{\mathbf{p}'} e^{i\mathbf{p}'\cdot\mathbf{x}} + a_{\mathbf{p}'}^{\dagger} e^{-i\mathbf{p}'\cdot\mathbf{x}}) \sqrt{2E_{\mathbf{p}}} a_{\mathbf{p}}^{\dagger} |0\rangle \\ &= e^{i\mathbf{p}\cdot\mathbf{x}} \propto \langle \mathbf{x}|\mathbf{p}\rangle,\end{aligned}\quad (1.5)$$

Propagateur :

$$\langle 0|T\phi(x)\phi(y)|0\rangle = D_F(x-y) \equiv \int \frac{d^4p}{(2\pi)^4} \frac{i}{p^2 - m^2 + i\epsilon} e^{-ip\cdot(x-y)} \quad (1.6)$$

La méthode Feynman 1/3

Quantisation de l'amplitude de propagation :

$$\langle x_B | e^{-iHT/\hbar} | x_A \rangle = U(x_A, x_B; T) = \int \mathcal{D}x(t) e^{iS[x(t)]/\hbar}. \quad (1.7)$$

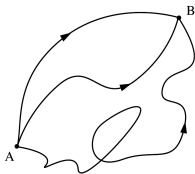


Figure – Trajectoires possibles entre un point A et B

$$U(x_A, x_B; T) = \sum_{\text{Tous les trajectoires}} e^{i \cdot (\text{phase})} = \int \mathcal{D}x(t) e^{i \cdot (\text{phase})} \quad (1.8)$$

La méthode Feynman 2/3

$$S = \int d^4x \mathcal{L} = \int d^4x \left[\frac{1}{2} (\partial_\mu \phi)^2 - \frac{1}{2} m^2 \phi^2 - i \frac{\lambda}{4!} \phi^4 \right] = S_0 - i \int d^4x \frac{\lambda}{4!} \phi^4$$

- **Propagateur :**

$$\langle T \phi(x_1) \phi(x_2) \rangle_0 = \frac{\int \mathcal{D}\phi e^{iS_0} \phi(x_1) \phi(x_2)}{\int \mathcal{D}\phi e^{iS_0}} = \int \frac{d^4k}{(2\pi)^4} \frac{ie^{-ik(x_1-x_2)}}{k^2 - m^2 + i\epsilon} \quad (1.9)$$

- **Termes d'interactions et boucles :**

$$\exp \left[i \int d^4x \mathcal{L} \right] = \exp \left[i \int d^4x \mathcal{L}_0 \right] \left(1 - i \int d^4x \frac{\lambda}{4!} \phi^4 + \dots \right) \quad (1.10)$$



Correction au premier ordre de ϕ^4 :



Physique statistique-QFT

Système magnétique de spin en présence d'un champ magnétique externe H :

$$Z(H) = \int \mathcal{D}s \, e^{-\beta F(H)} = \int \mathcal{D}s \, e^{-\beta \int dx (\mathcal{H}(s) - Hs(x))}, \quad (1.11)$$

où $F(H)$ représente l'énergie libre d'Helmholtz et $\mathcal{H}(s)$ la densité d'énergie de spin.

Théorie des champs scalaires en présence d'une source J :

$$Z[J] = \int \mathcal{D}\phi \, e^{-iE(J)} = \int \mathcal{D}\phi \, e^{i \int d^d x (\mathcal{L}[\phi] + J\phi)}, \quad (1.12)$$

où $E(J)$ est l'action classique.

Divergence ultraviolette :

Exemple de la correction au premier ordre de la masse scalaire dans la théorie ϕ^4 :

$$\begin{aligned} \text{---}\bullet\text{---} &= \Delta m^2 = -i\lambda \cdot \frac{1}{2} \cdot \int \frac{d^d k}{(2\pi)^d} \frac{i}{k^2 - m^2} \\ &= -\frac{i\lambda}{2} \frac{1}{(4\pi)^{d/2}} \frac{\Gamma(1 - \frac{d}{2})}{(m^2)^{1-d/2}} \end{aligned} \quad (1.13)$$

Approche de Wilson :

- $[\mathcal{D}\phi]_\Lambda = \prod_{b\Lambda \leq |k| < \Lambda} d\phi(k)$ avec $b \approx 1$
- $\Delta m^2 = \frac{i\lambda}{4\pi} \log\left(\frac{1}{b}\right)$, en $d = 2$ dimensions.

Renormalisation de Wilson 2/4

L'équation caractéristique de l'écoulement des paramètres est définie :

$$b \frac{\partial}{\partial b} \rho'_i = \beta_i(\rho_i) \quad (1.14)$$

Analogie bactériologique de Coleman :

$$\frac{d}{dt'} \bar{x}(t'; x) = -v(\bar{x}) \quad (1.15)$$

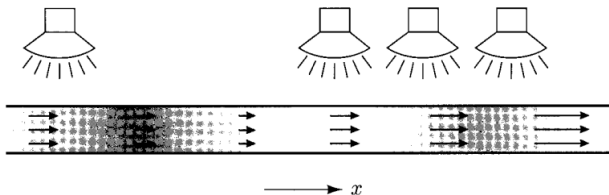
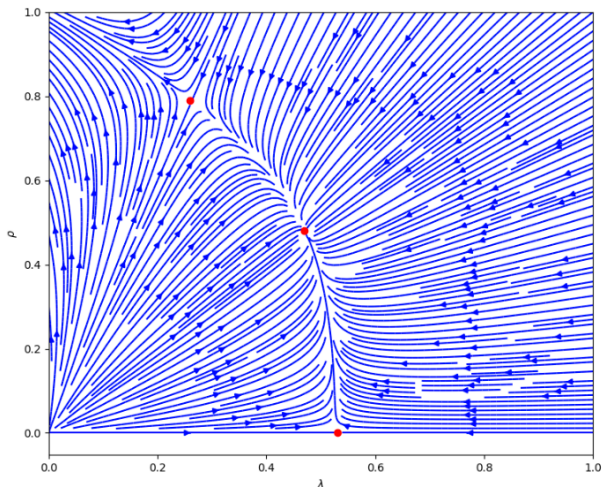


Figure – Analogie hydrodynamique de Coleman

Renormalisation de Wilson 3/4

Écoulement des paramètres d'une théorie à deux champs scalaires :

$$\mathcal{L} = \frac{1}{2}((\partial_\mu \phi_1)^2 + (\partial_\mu \phi_2)^2) - \frac{\lambda}{4!}(\phi_1^4 + \phi_2^4) - \frac{2\rho}{4!}(\phi_1^2 \phi_2^2)$$



Aux points fixes, de nouvelles symétries s'ajoutent comme l'invariance d'échelle et les transformations spéciales conformes.

Intérêt CFT :

- Calcul beaucoup plus facile de certaines théories dans l'extrême infrarouge ou ultraviolet, comme la chromodynamique quantique
- Physique statistique ou matière condensée : systèmes sont souvent conformément invariants à leurs points critiques thermodynamiques

Transformations conformes et opérateurs 1/5

Transformations conformes : transformations qui préservent l'élément de longueur infinitésimal à un facteur local près tel que :

$$g'_{\mu\nu}(x') = \Omega(x)g_{\mu\nu}. \quad (2.1)$$

Les transformations conformes possibles en $d > 2$, au voisinage de l'identité, peuvent se résumer

translation :

$$x'_\mu = x_\mu + a_\mu,$$

rotation :

$$x'_\mu = x_\mu + \omega_{\mu\nu}x^\nu,$$

transformation d'échelle :

$$x'_\mu = x_\mu + \alpha x_\mu,$$

transformation spéciale conforme :

$$x'_\mu = x_\mu - 2(x \cdot b)x_\mu + b_\mu x^2 \quad (2.2)$$

Transformations conformes et opérateurs 2/5

En théorie conforme des champs, les champs quasi-primaires $\mathcal{O}^i(x)$ sont définis par leur propriété sous transformations conformes

$$\mathcal{O}'^i(x') = \Omega(x)^\eta D_j^i(g) \mathcal{O}^j(x_\mu + v_\mu), \quad (2.3)$$

avec $D_j^i(g)$ la représentation de $SO(1, d-1)$, η la dimension d'échelle du champ, $\Omega(x) \simeq 1 + \alpha - 2b \cdot x$ et la variation $v_\mu = \delta x_\mu = x'_\mu - x_\mu$.

Générateurs du groupe conforme en $d > 2$:

translation :	$P^\mu = -i\partial^\mu,$
rotation :	$L^{\mu\nu} = i(x^\mu\partial^\nu - x^\nu\partial^\mu) - \sigma^{\mu\nu},$
transformation d'échelle :	$D = -ix_\mu\partial^\mu - i\eta,$
transformation spéciale conforme :	$K^\mu = -i(x^2\partial^\mu - 2x^\mu x_\nu\partial^\nu)$ $+ 2i\eta x^\mu - 2x_\nu\sigma^{\mu\nu}.$

(2.4)

L'algèbre conforme :

$$\begin{aligned}\left[\check{D}, \check{P}_\mu\right] &= i\check{P}_\mu \\ \left[\check{D}, \check{K}_\mu\right] &= i\check{K}_\mu \\ \left[\check{K}_\mu, \check{P}_\nu\right] &= -2i\left(\eta_{\mu\nu}\check{D} - \check{L}_{\mu\nu}\right) \\ \left[\check{K}_\rho, \check{L}_{\mu\nu}\right] &= -i\left(\eta_{\rho\mu}\check{K}_\nu - \eta_{\rho\nu}\check{K}_\mu\right) \\ \left[\check{P}_\rho, \check{L}_{\mu\nu}\right] &= i\left(\eta_{\rho\mu}\check{P}_\nu - \eta_{\rho\nu}\check{P}_\mu\right) \\ \left[\check{L}_{\mu\nu}, \check{L}_{\rho\sigma}\right] &= i\left(\eta_{\nu\rho}\check{L}_{\mu\sigma} + \eta_{\mu\sigma}\check{L}_{\nu\rho} - \eta_{\mu\rho}\check{L}_{\nu\sigma} - \eta_{\nu\sigma}\check{L}_{\mu\rho}\right),\end{aligned}\tag{2.5}$$

Transformations conformes et opérateurs 4/5

Nombre de générateurs :

$$1 \text{ dilatation} + d \text{ translations} + d \text{ transformations spéciales conformes} \\ + \frac{d(d-1)}{2} \text{ rotations} = \frac{(d+2)(d+1)}{2} \text{ générateurs.} \quad (2.6)$$

→ nombre de générateurs de l'algèbre $so(2, d)$.

$$\begin{aligned} \check{J}_{\mu\nu} &= \check{L}_{\mu\nu}, \\ \check{J}_{-1\mu} &= \frac{1}{2} \left(\check{P}_\mu - \check{K}_\mu \right), \\ \check{J}_{0\mu} &= \frac{1}{2} \left(\check{P}_\mu + \check{K}_\mu \right), \\ \check{J}_{-10} &= \check{D}. \end{aligned} \quad (2.7)$$

L'algèbre conforme $d > 2$ est donc isomorphe à $so(2, d)$.

avec

$$[\check{J}_{AB}, \check{J}_{CD}] = i \left(\eta_{AD} \check{J}_{BC} + \eta_{BC} \check{J}_{AD} - \eta_{AC} \check{J}_{BD} - \eta_{BD} \check{J}_{AC} \right). \quad (2.8)$$

La nouvelle métrique utilisée dans cette espace, aussi appelé « espace de plongement », est $\eta_{AB} = \text{diag}(1, -1, \dots, -1, 1)$.

Dans l'espace de plongement, l'algèbre conforme agit de manière covariante :

$$[L_{AB}, \mathcal{O}(\eta)] = -i \left(\eta_A \frac{\partial}{\partial \eta^B} - \eta_B \frac{\partial}{\partial \eta^A} \right) \mathcal{O}(\eta) - (\Sigma_{AB} \mathcal{O})(\eta). \quad (2.9)$$

où Σ_{AB} sont les générateurs de la représentation spinorielle dans l'espace de prolongement.

Invariance conforme :

$$\langle \mathcal{O}_1(x_1) \mathcal{O}_2(x_2) \rangle = \left| \frac{\partial x'}{\partial x} \right|_{x=x_1}^{\Delta_1/d} \left| \frac{\partial x'}{\partial x} \right|_{x=x_2}^{\Delta_2/d} \langle \mathcal{O}_1(x'_1) \mathcal{O}_2(x'_2) \rangle. \quad (2.10)$$

- Contrainte d'échelle :

$$\langle \mathcal{O}_1(x_1) \mathcal{O}_2(x_2) \rangle = \lambda^{\Delta_1 + \Delta_2} \langle \mathcal{O}_1(\lambda x_1) \mathcal{O}_2(\lambda x_2) \rangle. \quad (2.11)$$

- Contrainte sur la rotation et translation :

$$\langle \mathcal{O}_1(x_1) \mathcal{O}_2(x_2) \rangle = f(|x_1 - x_2|), \quad (2.12)$$

avec $f(x) = \lambda^{\Delta_1 + \Delta_2} f(\lambda x)$.

Fonctions à deux points 2/2

Seule forme possible pour $f(x)$:

$$\langle \mathcal{O}_1(x_1) \mathcal{O}_2(x_2) \rangle = \frac{C_{12}}{|x_1 - x_2|^{\Delta_1 + \Delta_2}}, \quad (2.13)$$

avec C_{12} un coefficient constant.

- **Contrainte des transformations spéciales conformes**

$$\frac{C_{12}}{|x_1 - x_2|^{\Delta_1 + \Delta_2}} = \frac{C_{12}}{\gamma_1^{\Delta_1} \gamma_2^{\Delta_2}} \frac{(\gamma_1 \gamma_2)^{(\Delta_1 + \Delta_2)/2}}{|x_1 - x_2|^{\Delta_1 + \Delta_2}}, \quad (2.14)$$

avec $\gamma_i = 1 + 2(b \cdot x) - b^2 x^2$.

Ainsi,

$$\langle \mathcal{O}_1(x_1) \mathcal{O}_2(x_2) \rangle = \begin{cases} \frac{C_{12}}{|x_1 - x_2|^{2\Delta_1}} & \text{si } \Delta_1 = \Delta_2, \\ 0 & \text{si } \Delta_1 \neq \Delta_2. \end{cases} \quad (2.15)$$

Fonctions à trois points

- Contraintes sous rotation, translation et invariance d'échelle :

$$\langle \mathcal{O}_1(x_1) \mathcal{O}_2(x_2) \mathcal{O}_3(x_3) \rangle = \frac{C_{123}}{x_{12}^a x_{23}^b x_{13}^c}, \quad (2.16)$$

avec $x_{ij} = |x_i - x_j|$ et $a + b + c = \Delta_1 + \Delta_2 + \Delta_3$.

- Contrainte sous transformations spéciales conformes :

$$\frac{C_{123}}{x_{12}^a x_{23}^b x_{13}^c} = \frac{C_{123}}{\gamma_1^{\Delta_1} \gamma_2^{\Delta_2} \gamma_3^{\Delta_3}} \frac{(\gamma_1 \gamma_2)^{a/2} (\gamma_2 \gamma_3)^{b/2} (\gamma_1 \gamma_3)^{c/2}}{x_{12}^a x_{23}^b x_{13}^c}. \quad (2.17)$$

$$\rightarrow a + c = 2\Delta_1, \quad a + b = 2\Delta_2, \quad b + c = 2\Delta_3.$$

Ainsi,

$$\langle \mathcal{O}_1(x_1) \mathcal{O}_2(x_2) \mathcal{O}_3(x_3) \rangle = \frac{C_{123}}{x_{12}^{\Delta_1 + \Delta_2 - \Delta_3} x_{23}^{\Delta_2 + \Delta_3 - \Delta_1} x_{13}^{\Delta_3 + \Delta_1 - \Delta_2}}. \quad (2.18)$$

Expansion en produit d'opérateurs 1/3

Pour les fonctions $N \geq 4$

→ symétrie conforme insuffisante à complètement déterminer leur forme

→ possèdent une dépendance arbitraire sur $N(N-3)/2$ des ratios invariants conformes ou ratios anharmoniques

Pour la fonction à 4 points, il existe deux ratios anharmoniques :

$$u = \frac{x_{12}x_{34}}{x_{13}x_{24}}, \quad v = \frac{x_{12}x_{34}}{x_{23}x_{14}}. \quad (2.19)$$

Pour décrire les fonctions à N points, l'expansion en produit d'opérateurs, ou « OPE » est un outil puissant :

$$\mathcal{O}_i(x_1)\mathcal{O}_j(x_2) = \sum_k \lambda_{ijk} f_{ijk}(x_1, x_2, y, \partial_y) \mathcal{O}_k(y), \quad (2.20)$$

où λ_{ijk} est appelé coefficient d'OPE et f_{ijk} un opérateur différentiel

Expansion en produit d'opérateurs 2/3

OPE convergera si

$$|x_1 - y|, |x_2 - y| < \min_{i=3,\dots,n} |x_i - y|. \quad (2.21)$$

Dans le cas de la fonction à 4 points,

$$\begin{aligned} \langle \mathcal{O}_1(x_1) \mathcal{O}_2(x_2) \mathcal{O}_3(x_3) \mathcal{O}_4(x_4) \rangle &= \sum_{\mathcal{O}} \lambda_{12\mathcal{O}} \lambda_{34\mathcal{O}} W_{\mathcal{O}}^s = \sum_{\mathcal{O}} \lambda_{13\mathcal{O}} \lambda_{24\mathcal{O}} W_{\mathcal{O}}^t \\ &= \sum_{\mathcal{O}} \lambda_{14\mathcal{O}} \lambda_{23\mathcal{O}} W_{\mathcal{O}}^u, \end{aligned} \quad (2.22)$$

où

$$\begin{aligned} W_{\mathcal{O}}^s &= f_{12\mathcal{O}}(x_1, x_2, y, \partial_y) f_{34\mathcal{O}}(x_3, x_4, y', \partial_{y'}) \langle \mathcal{O}(y) \mathcal{O}(y') \rangle \\ &= \frac{g_{\Delta_{\mathcal{O}}, l_{\mathcal{O}}}^s}{(x_{12}^2)^{\frac{\Delta_1 + \Delta_2}{2}} (x_{34}^2)^{\frac{\Delta_3 + \Delta_4}{2}}} \left(\frac{x_{24}^2}{x_{14}^2} \right)^{\frac{\Delta_1 - \Delta_2}{2}} \left(\frac{x_{14}^2}{x_{13}^2} \right)^{\frac{\Delta_3 - \Delta_4}{2}} \end{aligned} \quad (2.23)$$

Expansion en produits d'opérateurs 3/3

Les blocs conformes $g_{\Delta_{\mathcal{O}}, l_{\mathcal{O}}}$ satisfont l'équation aux valeurs propres de l'opérateur de Casimir :

$$L^2 g_{\Delta_{\mathcal{O}}, l_{\mathcal{O}}} = C_{\Delta, l} g_{\Delta_{\mathcal{O}}, l_{\mathcal{O}}}, \quad (2.24)$$

avec $C_{\Delta, l}$ la valeur propre de l'opérateur de Casimir

$$C_{\Delta, l} = \Delta(\Delta - d) + l(l + d - 2) \quad (2.25)$$

et L^2 l'opérateur de Casimir.

But du projet

Problème pour déterminer les constantes des fonctions de corrélation non-fixées par l'invariance conforme.

Solution possible : Bootstrap conforme numérique.

D'autres démarches, comme la positivité de Wightman, peuvent fixer des contraintes unitaires à ces paramètres.

Études précédentes de mon superviseur : Utiliser la positivité de Wightman pour fixer les paramètres c_{ij} de la fonction à deux points dans une représentation générale.

But de mon projet : Continuer ses études mais pour les paramètres c_{ijk} de la fonction à trois points.

Axiomes de Wightman 1/2

Définition d'un opérateur étendu :

$$\mathcal{O}(f) = \int dx f(x) \mathcal{O}(x), \quad (3.1)$$

où $f(x) \in \mathcal{S}$ est une fonction infiniment différentiable d'un support compact défini dans l'espace-temps.

Axiomes sur le domaine des opérateurs étendus et leurs propriétés :

- Hypothèses d'une théorie quantique relativiste
 - $\langle U(a, \omega) \Psi | U(a, \omega) \Phi \rangle = \langle \Psi | \Phi \rangle$,
 - Les valeurs propres de l'opérateur énergie-impulsion P_μ s'étendent dans la partie supérieure du cône de lumière
 $p_0 \geq 0, \quad p_0^2 - p_j p_j \geq 0$,
 - $U(a, \omega) \Psi_0 = \Psi_0$

Axiomes de Wightman 2/2

- **Hypothèses sur le domaine et la continuité des champs**
 - $\varphi_j(f)D \subset D, \quad \varphi_j(f)^*D \subset D$
- **Loi de transformation des opérateurs sous Poincaré**
 - $U(a, L)\varphi_j(f)U(a, L)^{-1} = S_{jk}(L^{-1})\varphi_k(\{a, L\}f),$
avec $\{a, L\}f(x) = f(L^{-1}(x - a))$ où L est une transformation de Lorentz
- **Causalité microscopique**
 - Si $f(x)g(y) = 0$ pour tous les couples de points x, y tels que $(x - y)^2 < 0$, alors
$$[\varphi_j(f), \varphi_k(g)]_{\pm} \equiv \varphi_j(f)\varphi_k(g) \pm \varphi_k(g)\varphi_j(f) = 0$$
- **Irréductibilité de l'ensemble des opérateurs**
 - Les opérateurs étendus forment un ensemble irréductible d'opérateurs dans l'espace d'Hilbert. Plus précisément, si B est un opérateur borné, lequel satisfait
 $(\Phi, B\varphi_j(f)\Psi) = (\varphi_j(f)^*\Phi, B\Psi),$ pour tout $\Phi, \Psi \in D_0$, alors B est une constante multiple de l'opérateur identité

Condition de positivité de cet espace d'Hilbert :

Pour toute séquence $\{f_j\}$ de fonctions tests, $f_j \in \mathcal{S}(\mathbb{R}^{4j})$, avec $f_j = 0$ sauf pour un nombre fini de j , la valeur moyenne des opérateurs φ_j dans le vide satisfait l'inégalité

$$\sum_{j,k=0}^{\infty} \int \dots \int \bar{f}_j(x_1, \dots, x_j) \mathcal{W}_{jk}(x_j, x_{j-1}, \dots, x_1, y_1, \dots, y_k) \\ \times f_k(y_1, \dots, y_k) dx_1 \dots dx_j dy_1 \dots dy_k \geq 0, \quad (3.2)$$

où

$$\mathcal{W}_{ij} = (\Psi_0, \varphi_{jj}^*(x_j) \dots \varphi_{j1}^*(x_1) \varphi_{k1}(y_1) \dots \varphi_{kk}(y_k) \Psi_0).$$

Études de la positivité de Wightman en théorie conforme :

Considérons le vecteur d'état

$$\Psi = g_0 \Psi_0 + \sum_{n=1}^N \int d^d x_1 \dots d^d x_n g_{i_1 \dots i_n}(x_1, \dots x_n) \mathcal{O}_{i_1}(x_1) \dots \mathcal{O}_{i_n}(x_n) \Psi_0, \quad (4.1)$$

dont la norme vérifie l'inégalité de positivité 3.2, et avec \mathcal{O}_i des opérateurs quasi-primaires.

Résultats 2/4

Usage de l'OPE pour le terme $N = 2$ de l'expansion :

$$\begin{aligned}\Psi &= \int dx_1 dx_2 \sum_k \lambda_{i_1 i_2 k} g_{i_1 i_2}(x_1, x_2) f_{i_1 i_2 k}(x_1, x_2, \partial_{x_2}) \mathcal{O}_k(x_2) \Psi_0 \\ &= - \int dx_1 dx_2 \sum_k \lambda_{i_1 i_2 k} \hat{f}_{i_1 i_2 k}(x_1, x_2, \partial_{x_2}) g_{i_1 i_2}(x_1, x_2) \mathcal{O}_k(x_2) \Psi_0 \\ &= - \int dx_1 dx_2 \sum_k h_{i_1 i_2 k}(x_1, x_2) \mathcal{O}_k \Psi_0,\end{aligned}\tag{4.2}$$

où à l'avant dernière ligne une intégration par partie a été appliquée et à la dernière ligne

$$h_{i_1 i_2 k} = \lambda_{i_1 i_2 k} \hat{f}_{i_1 i_2 k}(x_1, x_2, \partial_{x_2}) g_{i_1 i_2}(x_1, x_2)\tag{4.3}$$

Résultats 3/4

Pour un terme arbitraire $N = j$ de l'expansion 4.1, la procédure ci-dessus peut être répétée.

$$\psi = (-1)^{j-1} \int dx_1 \dots dx_j \sum_{k_j} h_{i_1 i_2 \dots i_j k_j}(x_1, \dots x_j) \mathcal{O}_{k_j}(x_j) \psi_0, \quad (4.4)$$

avec

$$\begin{aligned} h_{i_1 i_2 \dots i_j k_j}(x_1, \dots x_j) &= \sum_{k_{j-1}} \dots \sum_{k_2} \lambda_{k_{j-1} i_j k_j} \hat{f}_{k_{j-1} i_j k_j}(x_{j-1}, x_j, \partial_{x_j}) \dots \\ &\times \lambda_{k_2 i_3 k_3} \hat{f}_{k_2 i_3 k_3}(x_2, x_3, \partial_{x_3}) \lambda_{i_1 i_2 k_2} \hat{f}_{i_1 i_2 k_2}(x_1, x_2, \partial_{x_2}) \\ &\times g_{i_1 \dots i_j}(x_1, \dots x_j). \end{aligned} \quad (4.5)$$

Résultats 4/4

Par conséquent, l'action de l'OPE permet de réduire la norme du vecteur d'état à

$$\begin{aligned} \langle \Psi, \Psi \rangle = & \sum_{j,k=1}^{\infty} \int \dots \int \sum_{k'} \sum_k \bar{h}_{i_1 i_2 \dots i_m k'_m}(x_1, \dots x_m) \langle \Psi_0, \mathcal{O}_{k'_m}^*(x_m) \mathcal{O}_{k_j}(y_j) \Psi_0 \rangle \\ & \times h_{i_1 i_2 \dots i_j k_j}(y_1, \dots y_j) d^d x_1 \dots d^d x_m d^d y_1 \dots d^d y_j + g_0^* g_0 \langle \Psi_0, \Psi_0 \rangle \end{aligned} \quad (4.6)$$

La norme de tout vecteur d'état est positive si la fonction à deux points est positive.

→ Aucune nouvelle information sur les constantes d'OPE.

Conclusion

- La positivité de Wightman ne fournit aucune information sur les constantes c_{ijk} des fonctions à trois points
- Futurs calculs possibles : étudier les contraintes unitaires de Wightman des fonctions à deux points dans des représentations particulières (vectorielle, spinorielle...)
- But initial du projet non fructueux, mais développement de mes compétences dans le milieu de la physique théorique et le domaine de la recherche

Merci à mon superviseur et à mes camarades de maîtrise pour l'accompagnement durant ce projet